

# Компьютерная обработка изображений

Лекция 3: Геометрические преобразования изображений.

Сафонов И.В., Крыжановский К.А., Егорова М.А.

2011

1

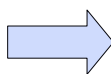
## Геометрические преобразования

- Кадрирование
  - Масштабирование
  - Поворот
  - Зеркальные отражения
  - Скос
  - Коррекция геометрических искажений
- Аффинные преобразования

2

## Кадрирование

Кадрирование (*cropping*) – вырезание из изображения прямоугольного фрагмента. Выполняют с целью выделения требуемой части изображения, изменения соотношения сторон (*aspect ratio*) и/или улучшения композиции.



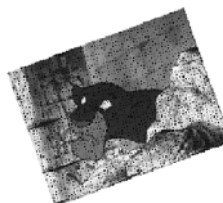
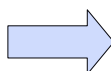
3

## Преобразования на плоскости

Любые преобразования на плоскости задаются с помощью матрицы трансформации для однородных координат:

$$\begin{bmatrix} x'_i & y'_i & 1 \end{bmatrix} = \begin{bmatrix} x_i & y_i & 1 \end{bmatrix} \times \begin{bmatrix} a & b & 0 \\ c & d & 0 \\ t_x & t_y & 1 \end{bmatrix} \quad \begin{array}{l} \text{где } x_p, y_i - \text{координаты пикселей} \\ \text{исходного, а } x'_p, y'_i - \text{координаты} \\ \text{пикселей трансформированного} \\ \text{изображений.} \end{array}$$

Наивным способом трансформации изображения является умножение координат его пикселей на прямую матрицу трансформации, для того чтобы найти координаты этих пикселей в новом изображении. Однако в общем случае такой подход неправильный.



Пример поворота изображения на 20 градусов путем умножения координат исходного изображения на прямую матрицу трансформации: "дырки" на изображении.

4

## Общая схема преобразования

1. Координаты угловых пикселей исходного изображения умножаются на прямую матрицу трансформации для нахождения координат угловых пикселей и размера нового изображения:

$$\begin{bmatrix} x'_i & y'_i & 1 \end{bmatrix} = \begin{bmatrix} x_i & y_i & 1 \end{bmatrix} \times \begin{bmatrix} a & b & 0 \\ c & d & 0 \\ t_x & t_y & 1 \end{bmatrix}$$

2. Координаты каждого пикселя нового изображения умножают на обратную матрицу трансформации для получения координаты соответствующего ему пикселя в исходном изображении:

$$\begin{bmatrix} x & y & 1 \end{bmatrix} = \begin{bmatrix} x' & y' & 1 \end{bmatrix} \times \begin{bmatrix} a & b & 0 \\ c & d & 0 \\ t_x & t_y & 1 \end{bmatrix}^{-1}$$

3. Если координата попала в пределы габаритов исходного изображения, то значение пикселя в новом изображении определяют с помощью интерполяции по соседним пикселям исходного изображения.

5

## Масштабирование

Масштабирование (*scaling*) – изменение размеров (*resizing*) изображения. Различают увеличение размеров (*upsizing*) и уменьшение размеров (*downsizing*).

Матрицы преобразования для масштабирования:

Прямая

$$\begin{bmatrix} S_x & 0 & 0 \\ 0 & S_y & 0 \\ 0 & 0 & 1 \end{bmatrix}$$

Обратная

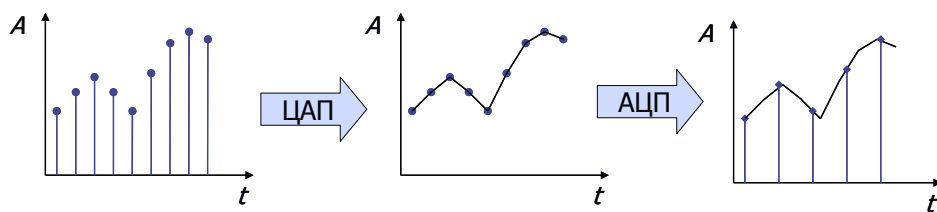
$$\begin{bmatrix} \frac{1}{S_x} & 0 & 0 \\ 0 & \frac{1}{S_y} & 0 \\ 0 & 0 & 1 \end{bmatrix}$$



6

## Перевыборка

В качестве синонима масштабирования используют термин перевыборка (*resampling*, *upsampling*, *downsampling*). Перевыборка подразумевает цифро-аналоговое преобразование исходного сигнала и новое аналого-цифровое преобразование (взятие отсчетов – *sampling*) с другой частотой.



При уменьшении исходное изображение целесообразно предварительно подвергнуть низкочастотной фильтрации.

7

## Поворот (1)

Поворот на угол  $\varphi$  против часовой стрелки вокруг начала координат выполняют с помощью следующей матрицы преобразования:

Прямая

$$\begin{bmatrix} \cos \varphi & \sin \varphi & 0 \\ -\sin \varphi & \cos \varphi & 0 \\ 0 & 0 & 1 \end{bmatrix}$$

Обратная

$$\begin{bmatrix} \cos \varphi & -\sin \varphi & 0 \\ \sin \varphi & \cos \varphi & 0 \\ 0 & 0 & 1 \end{bmatrix}$$



Для повышения скорости обработки поворот на углы кратные  $90^\circ$  реализуют как частные случаи.

8

## Поворот (2)

Часто выполняют поворот вокруг центра изображения  $(x_c, y_c)$ . В этом случае прямая матрица преобразования есть результат произведения матрицы переноса начала координат в центр изображения, матрицы поворота и матрицы переноса начала координат в начальную позицию:

$$\begin{bmatrix} 1 & 0 & 0 \\ 0 & 1 & 0 \\ -x_c & -y_c & 1 \end{bmatrix} \times \begin{bmatrix} \cos \varphi & \sin \varphi & 0 \\ -\sin \varphi & \cos \varphi & 0 \\ 0 & 0 & 1 \end{bmatrix} \times \begin{bmatrix} 1 & 0 & 0 \\ 0 & 1 & 0 \\ x_c & y_c & 1 \end{bmatrix}$$

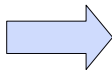
Иногда требуется выполнить поворот на произвольный угол в том же буфере памяти. Такие алгоритмы называют *in place* или *in situ*. В этом случае можно заменить 1 поворот на 2 последовательных сдвига (*shear, skew*). Например, возможна такая декомпозиция обратной матрицы поворота:

$$\begin{bmatrix} \cos \varphi & -\sin \varphi & 0 \\ \sin \varphi & \cos \varphi & 0 \\ 0 & 0 & 1 \end{bmatrix} = \begin{bmatrix} \cos \varphi & 0 & 0 \\ \sin \varphi & 1 & 0 \\ 0 & 0 & 1 \end{bmatrix} \times \begin{bmatrix} 1 & -\tan \varphi & 0 \\ 0 & \sec \varphi & 0 \\ 0 & 0 & 1 \end{bmatrix}$$

9

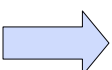
## Зеркальное отражение

Зеркальное отражение (*flip*) относительно вертикальной оси:



$$T = \begin{bmatrix} -1 & 0 & 0 \\ 0 & 1 & 0 \\ 0 & 0 & 1 \end{bmatrix}$$

Зеркальное отражение (*flip*) относительно горизонтальной оси:



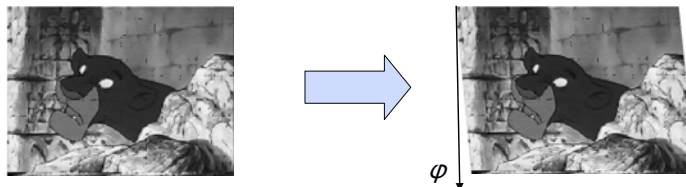
$$T = \begin{bmatrix} 1 & 0 & 0 \\ 0 & -1 & 0 \\ 0 & 0 & 1 \end{bmatrix}$$

Обычно реализуют как частные случаи.

10

## Скос

Скос (*skew, shear*) по  $x$ :



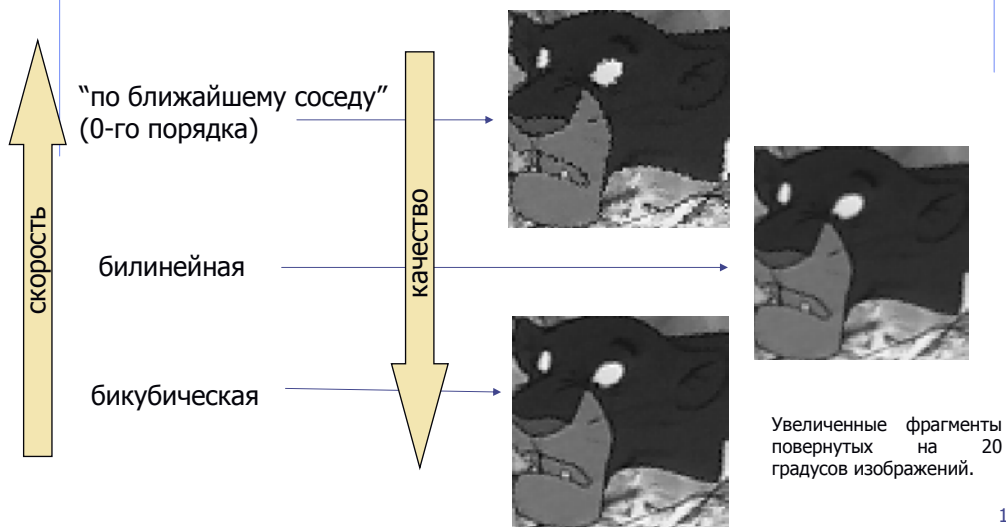
$$T = \begin{bmatrix} 1 & 0 & 0 \\ tg\varphi & 1 & 0 \\ 0 & 0 & 1 \end{bmatrix}$$

Скос по  $y$  получается транспонированием матрицы

11

## Интерполяция

Существует много способов интерполяции изображений. Наиболее распространенными и известными являются:



12

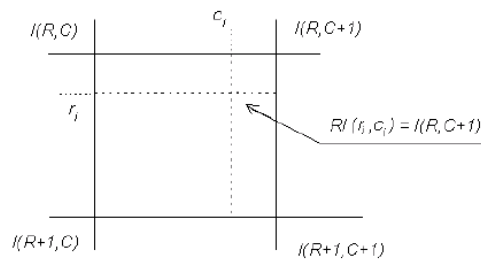
## Интерполяция "по ближайшему соседу"

В интерполяции "по ближайшему соседу" (*nearest neighbor*) результатом является значение ближайшего пиксела:

$$RI_{r_i, c_i} = I(R_i, C_i)$$

$$R_i = \text{INT}(r_i + 0.5) \quad \text{где } \text{INT}(x) - \text{возвращает целую часть}$$

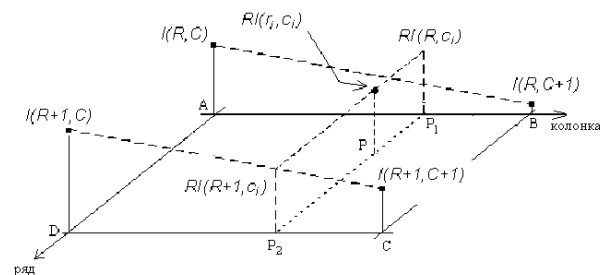
$$C_i = \text{INT}(c_i + 0.5)$$



13

## Билинейная интерполяция

Билинейная (*bilinear*) – это интерполяция по билинейной поверхности, построенной по значениям 4-х ближайших пикселей. Может быть вычислена как 3 интерполяции 1-го порядка:



$$RI(R, c_i) = I(R, C) + (I(R, C+1) - I(R, C)) \times (c_i - C)$$

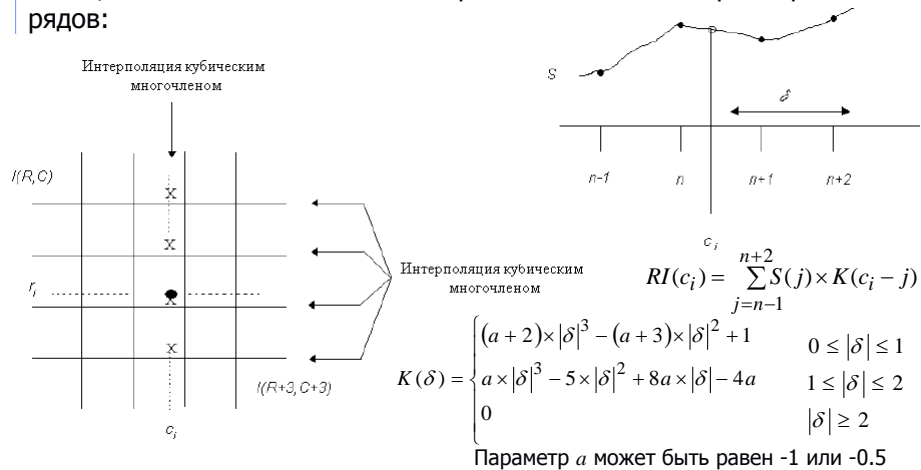
$$RI(R+1, c_i) = I(R+1, C) + (I(R+1, C+1) - I(R+1, C)) \times (c_i - C)$$

$$RI(r_i, c_i) = RI(R, c_i) + (RI(R+1, c_i) - RI(R, c_i)) \times (r_i - R)$$

14

## Бикубическая интерполяция

Бикубическая (*bicubic*) интерполяция или кубическая свертка (*cubic convolution*) состоит из пяти одномерных кубических интерполяций, четыре из которых делаются по рядам вокруг интерполируемой точки, а пятый делается по четырём значениям интерполированных рядов:



15

## Пример масштабирования (1)

Пример масштабирования изображения 8 bpp, строки изображений не выровнены. Используется билинейная интерполяция и вычисления в арифметике с фиксированной точкой (22:10).

```
void ResizeBilinearFixedPoint( const unsigned char* pbIn, int lWidthIn,
                               int lHeightIn, unsigned char* pbOut, int lWidthOut, int lHeightOut )
{
    const int fxONE = 0x0400,          // Единица в формате с фиксированной точкой
    fxFRACTIONAL_NUM = 10,             // Количество бит в дробной части
    fxFRACTIONAL_MASK = 0x03FF;       // Маска дробной части чисел с фиксированной т.

    unsigned char* pbRawOut = pbOut;
    for( int i = 0; i < lHeightOut; ++i )
    {
        int yy = (int)((long long)i << fxFRACTIONAL_NUM) * lHeightIn / lHeightOut,
        y = yy >> fxFRACTIONAL_NUM,    // целая часть y
        u = yy & fxFRACTIONAL_MASK;    // дробная часть y
        for( int j = 0; j < lWidthOut; ++j )
        {
            int xx = (int)((long long)j << fxFRACTIONAL_NUM) * lWidthIn / lWidthOut,
            x = xx >> fxFRACTIONAL_NUM, // целая часть x
            v = xx & fxFRACTIONAL_MASK; // дробная часть x
```

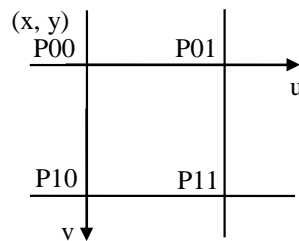


16



## Пример масштабирования (2)

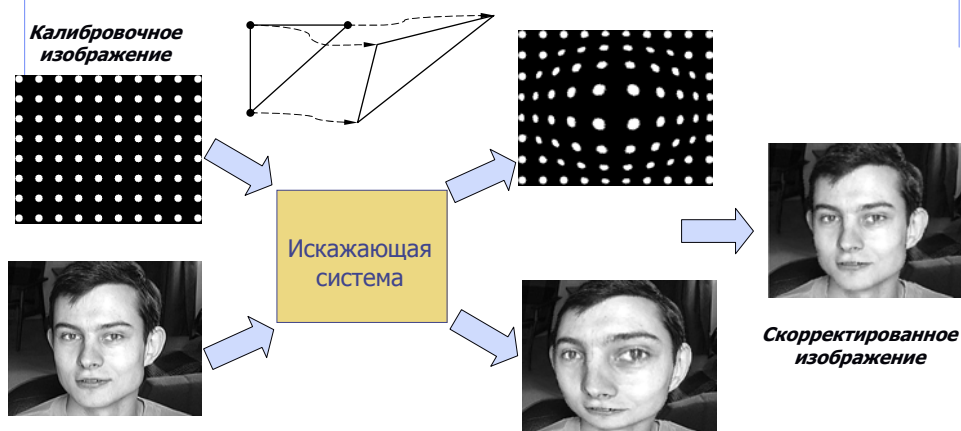
```
const unsigned char* pbRawIn = pbIn + y*lWidthIn + x; // значения соседних пикселей
int lP00 = *pbRawIn,
    lP01 = *(pbRawIn + 1),
    lP10 = *(pbRawIn + lWidthIn),
    lP11 = *(pbRawIn + lWidthIn + 1);
// билинейная интерполяция
*pbRawOut = (unsigned char) ( ((fxONE - u)*(fxONE - v)*lP00 +
    u*(fxONE - v)*lP10 + v*(fxONE - u)*lP01 +
    u*v*lP11)>>(2 * fxFRACTIONAL_NUM) );
++pbRawOut;
}
}
```



17

## Коррекция дисторсии (1)

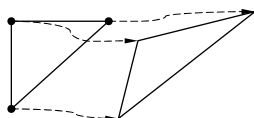
Изображения подвергнутые геометрическим искажениям (дисторсии) могут быть скорректированы на основе данных калибровки.



18

## Коррекция дисторсии (2)

Существует взаимно однозначное соответствие между координатами треугольников исходного и искаженного калибровочного изображений, что позволяет для каждого треугольника определить матрицу трансформации путем решения системы линейных уравнений.



$$\begin{bmatrix} x'_i & y'_i & 1 \end{bmatrix} = \begin{bmatrix} x_i & y_i & 1 \end{bmatrix} \times \begin{bmatrix} a & b & 0 \\ c & d & 0 \\ t_x & t_y & 1 \end{bmatrix}, \quad i=0,1,2.$$

$$\begin{cases} a = \frac{-x_1 \cdot y_0 + x_1' \cdot y_2 + y_1 \cdot x_0' - y_1' \cdot x_2 + x_2' \cdot y_0 - y_2' \cdot x_0}{x_0' \cdot y_1 - x_0 \cdot y_2 - y_0' \cdot x_1 + y_0 \cdot x_2 - x_2' \cdot y_1 + y_2' \cdot x_1} \\ b = \frac{y_2' \cdot y_0 - y_2 \cdot y_0' - y_1' \cdot y_0 + y_1 \cdot y_2 + y_1' \cdot y_0 - y_1 \cdot y_2}{x_0' \cdot y_1 - x_0 \cdot y_2 - y_0' \cdot x_1 + y_0 \cdot x_2 - x_2' \cdot y_1 + y_2' \cdot x_1} \\ c = \frac{x_0' \cdot x_2 - x_0 \cdot x_1 + x_0' \cdot x_1 - x_0 \cdot x_2 + x_2' \cdot x_1 - x_2' \cdot x_1}{x_0' \cdot y_1 - x_0 \cdot y_2 - y_0' \cdot x_1 + y_0 \cdot x_2 - x_2' \cdot y_1 + y_2' \cdot x_1} \\ d = \frac{y_0' \cdot x_2 - y_0 \cdot x_1 - x_0' \cdot y_2 + x_0 \cdot y_1 - y_1' \cdot x_2 + x_1' \cdot y_2}{x_0' \cdot y_1 - x_0 \cdot y_2 - y_0' \cdot x_1 + y_0 \cdot x_2 - x_2' \cdot y_1 + y_2' \cdot x_1} \\ t_x = \frac{y_1 \cdot x_0' \cdot x_2 - x_2' \cdot y_0 \cdot x_1 + x_1' \cdot y_0 \cdot x_2 - y_1' \cdot x_0 \cdot x_2 + y_2' \cdot x_0 \cdot x_1 - x_1' \cdot x_0 \cdot y_2}{x_0' \cdot y_1 - x_0 \cdot y_2 - y_0' \cdot x_1 + y_0 \cdot x_2 - x_2' \cdot y_1 + y_2' \cdot x_1} \\ t_y = \frac{-y_2' \cdot x_0 \cdot y_1 + y_1' \cdot y_0 \cdot x_2 - y_2' \cdot y_0 \cdot x_1 + y_2' \cdot y_0 \cdot x_1 - y_1' \cdot y_0 \cdot x_2 + y_2' \cdot x_0 \cdot y_1}{x_0' \cdot y_1 - x_0 \cdot y_2 - y_0' \cdot x_1 + y_0 \cdot x_2 - x_2' \cdot y_1 + y_2' \cdot x_1} \end{cases}$$

19